

สมบัติของคอลลาเจนที่ละลายด้วยกรดจากหนังปลาสด

Characterisation of Acid-Soluble Collagen from Skin of Grey Featherback (*Notopterus notopterus*)

นรินทร์ ทาหอม และวารังกนา สมพงษ์*

ภาควิชาวิทยาศาสตร์และเทคโนโลยีการอาหาร คณะวิทยาศาสตร์และเทคโนโลยี
มหาวิทยาลัยธรรมศาสตร์ ศูนย์รังสิต ตำบลคลองหนึ่ง อำเภอคลองหลวง จังหวัดปทุมธานี 12120

Narin Thahom and Warangkana Sompongse*

Department of Food Science and Technology, Faculty of Science and Technology,
Thammasat University, Rangsit Centre, Khlong Nueng, Khlong Luang, Pathum Thani 12120

บทคัดย่อ

วัตถุประสงค์ของงานวิจัยนี้เพื่อเพิ่มมูลค่าของหนังปลาสด (*Notopterus notopterus*) ซึ่งเป็นเศษเหลือทิ้งจากการแปรรูปผลิตภัณฑ์จากเนื้อปลาสด โดยนำมาผลิตเป็นคอลลาเจนที่ละลายด้วยกรด การศึกษาองค์ประกอบทางเคมีของหนังปลาสด พบว่ามีปริมาณความชื้นร้อยละ 62.42 ± 1.40 โปรตีน 34.19 ± 1.22 ไขมัน 0.81 ± 0.24 และเถ้า 1.01 ± 0.42 โดยน้ำหนักสด การศึกษาการสกัดคอลลาเจนที่ละลายด้วยกรดจากหนังปลาสด โดยใช้ 0.5 M acetic acid นาน 72 ชั่วโมง ได้ปริมาณผลผลิตร้อยละ 38.25 ± 2.30 โดยน้ำหนักแห้ง ประกอบด้วยไฮดรอกซี-โพรลีนร้อยละ 63.37 (w/w) โดยน้ำหนักคอลลาเจนแห้ง มีค่า transition temperature (T_{max}) เท่ากับ 33.15 ± 0.03 °C สามารถดูดกลืนแสงยูวีสูงสุดที่ความยาวคลื่น 233 nm มีค่าการละลายสูงสุดที่ pH 1 ใน 0.5 M acetic acid มีค่าการละลายลดลงในช่วง pH 6-8 และความเข้มข้นของ NaCl สูงกว่าร้อยละ 2 (w/v) และจาก FTIR spectra พบว่าคอลลาเจนที่ละลายด้วยกรดมีโครงสร้างเกลียวสามสายประกอบด้วยกรดอะมิโนไกลซีน โพรลีน และไฮดรอกซีโพรลีนร้อยละ 33.7, 11.3 และ 7.5 ตามลำดับ

คำสำคัญ : ปลาสด; หนังปลา; การสกัด; คอลลาเจนที่ละลายด้วยกรด

Abstract

The objective of this research was to increase value of skin of grey featherback (*Notopterus notopterus*) that was the waste from the food processing by extraction of acid soluble collagen. Chemical composition of skin of grey featherback was 62.42 ± 1.40 % moisture, 34.19 ± 1.22 % protein, 0.81 ± 0.24 % fat and 1.01 ± 0.42 % ash by wet weight. acid-soluble collagen (ASC) was extracted in 0.5 M acetic acid for 72 hours and yield was 38.25 ± 2.30 % by dry weight. It was

*ผู้รับผิดชอบบทความ : wsompongse@hotmail.com

composed of 63.37 % (w/w) hydroxyproline by ASC dry weight. ASC exhibited transition temperature (T_{max}) at 33.15 ± 0.03 °C and maximum UV absorbance at 233 nm. ASC had the highest solubility in 0.5 M acetic acid at pH 1. The solubility was decreased in the interval of pH 6-8 and at the concentration of NaCl more than 2 % (w/v). FTIR analysis showed the existence of helical arrangements of collagen. ASC was composed of 33.7 % glycine, 11.3 % proline and 7.5 % hydroxyproline.

Keywords: grey featherback; fish skin; extraction; acid-soluble collagen

1. บทนำ

คอลลาเจนเป็นโปรตีนที่อยู่ภายนอกเซลล์ มีขนาดใหญ่ และพบปริมาณมากประมาณร้อยละ 30 ในเนื้อเยื่อเกี่ยวพันของสัตว์ทุกชนิด ซึ่งประกอบด้วย polypeptide 3 สาย ที่เรียกว่า α -chain ในแต่ละสาย ประกอบด้วยลำดับการเรียงซ้ำ ๆ กันของ tripeptide base (Gly-X-Y) คอลลาเจนมีไกลซีนเป็นกรดอะมิโนหลัก นอกจากนี้ยังประกอบไปด้วยโปรลีนและไฮดรอกซีโปรลีน ซึ่งเป็นกรดอะมิโนที่มักพบในคอลลาเจน พันธะที่พบมากและมีความสำคัญต่อความคงตัวของคอลลาเจนคือ พันธะไฮโดรเจน [1]

แต่เดิมแหล่งที่นิยมใช้ในการสกัดคอลลาเจนได้มาจากสัตว์เลี้ยงลูกด้วยนม ได้แก่ หมู วัว เป็นต้น แต่เนื่องด้วยข้อจำกัดทางศาสนา การแพร่ระบาดของโรคไข้สมองอักเสบที่เกิดจากวัว และโรคปากและเท้าเปื่อย [2] ส่งผลให้มีการศึกษาเพื่อหาแหล่งใหม่ในการสกัดคอลลาเจน ซึ่งพบว่าหนังปลาเป็นแหล่งทางเลือกหนึ่งที่น่าสนใจ และเป็นการใช้ประโยชน์จากเศษเหลือทิ้งของอุตสาหกรรมสัตว์น้ำอีกด้วย Kittiphattanabawon และคณะ [3] พบว่าหนังปลา bigeye snapper (*Priacanthus tayenus*) มีปริมาณคอลลาเจนร้อยละ 10.94 ในขณะที่ Zeng และคณะ [4] พบว่าหนังปลา Nile tilapia (*Oreochromis niloticus*) มีปริมาณคอลลาเจนร้อยละ 39 นอกจากนี้ Duan และคณะ [5] พบว่า หนังปลา carp (*Cyprinus carpio*) มีปริมาณคอลลาเจนร้อยละ 41.3

ปลาสลาด (*Notopterus notopterus*) เป็นปลาน้ำจืดชนิดหนึ่งอยู่ในวงศ์เดียวกับปลากราย (*Notopteridae*) จัดเป็นปลาที่มีขนาดเล็กที่สุดในสกุลนี้เป็นปลาที่มีความสำคัญทางเศรษฐกิจชนิดหนึ่ง นิยมนำเนื้อไปทำทอดมันแทนเนื้อปลากราย เนื่องจากปลากรายมีราคาแพงและหายากกว่า [6] แหล่งที่อยู่อาศัยและการแพร่กระจายในประเทศพบว่า ปลาสลาดอาศัยอยู่ตามแหล่งน้ำจืดทั่วทุกภาคของไทย [7] จึงมีแนวคิดที่จะนำหนังปลาสลาดซึ่งเป็นปลาที่มีหนังเหนียวและเป็นเศษเหลือทิ้งที่มีมูลค่าต่ำ นอกจากนี้ยังหาง่ายในจังหวัดปทุมธานี ซึ่งเป็นแหล่งทางเลือกใหม่ในการสกัดคอลลาเจนเพื่อใช้ทดแทนคอลลาเจนจากสัตว์เลี้ยงลูกด้วยนม ดังนั้นงานวิจัยนี้จึงมีวัตถุประสงค์ในการศึกษานำหนังปลาสลาดมาใช้ในการสกัดคอลลาเจนด้วยกรด และศึกษาสมบัติของคอลลาเจนที่สกัดได้

2. อุปกรณ์และวิธีการ

2.1 วัตถุดิบ

หนังปลาสลาดซื้อจากตลาดไท จังหวัดปทุมธานี นำมาทำความสะอาด โดยการขูดเศษเนื้อและเกล็ด ตัดให้มีขนาด 0.5×0.5 cm เก็บที่อุณหภูมิ -18 °C จนกว่าจะนำมาใช้

2.2 ศึกษาองค์ประกอบทางเคมีของหนังปลาสลาด

น้ำหนักพลาสติกมาวิเคราะห์องค์ประกอบทางเคมี ได้แก่ ความชื้น โปรตีน ไขมัน และเถ้า [8]

2.3 ศึกษาการสกัดคอลลาเจนที่ละลายด้วยกรด

สกัดคอลลาเจนที่ละลายด้วยกรดจากหนังพลาสติกด้วยวิธีดัดแปลงจากวิธีการของ Zeng และคณะ [4] การสกัดทั้งหมดทำภายใต้อุณหภูมิ 4 °C โดยแช่หนังในสารละลาย 0.1 M NaOH อัตราส่วน 1:80 (w/v) เป็นเวลา 6 ชั่วโมง พร้อมกวนเบา ๆ ตลอดเวลา เปลี่ยนสารละลายทุก ๆ 3 ชั่วโมง เพื่อนำส่วนที่ไม่ใช่โปรตีนคอลลาเจนและเม็ดสีออก หลังจากนั้นล้างด้วยน้ำกลั่นจนกว่า pH ของน้ำล้างเป็นกลาง แล้วนำมาแช่ในสารละลาย 0.5 M acetic acid อัตราส่วนตัวอย่างต่อสารละลาย 1 : 50 (w/v) พร้อมกับการกวนอย่างเบา ๆ เป็นเวลา 72 ชั่วโมง หลังจากนั้นนำส่วนผสมไปหมุนเหวี่ยงที่ 21,200 xg เป็นเวลา 30 นาที ที่อุณหภูมิ 4 °C เก็บสารละลายส่วนใสมาตกตะกอนโดยการเติม NaCl ให้ได้ความเข้มข้นของ NaCl สุดท้ายที่ 2.6 M แล้วนำไปหมุนเหวี่ยงที่ 21,200 xg เป็นเวลา 40 นาที เก็บตะกอนเจลสีขาวขุ่นมาละลายกลับด้วยสารละลาย 0.5 M acetic acid ปริมาตร 10 เท่าของน้ำหนักตะกอน หลังจากนั้นนำไป dialysed ด้วย 0.1 M acetic acid ปริมาตร 10 เท่าของสารใน dialysis tube เป็นเวลา 24 ชั่วโมง โดยเปลี่ยนสารละลายทุก ๆ 4 ชั่วโมง ต่อมานำสารละลายที่ได้ไป dialysed ด้วยน้ำกลั่นปริมาตร 10 เท่า โดยเปลี่ยนน้ำจนกว่าจะได้ pH เป็นกลาง นำสารที่ได้จากการ dialysed ไปทำแห้งแบบแช่เยือกแข็ง และตัวอย่างคอลลาเจนที่ได้จากการทำแห้งเรียกว่า ASC (acid-soluble collagen) คำนวณปริมาณคอลลาเจนที่ละลายด้วยกรด และรายงานในรูปของน้ำหนักฐานแห้งต่อน้ำหนักฐานแห้งของหนังพลาสติก

2.4 การวิเคราะห์ปริมาณไฮดรอกซีโปรลีน

โดยย่อยตัวอย่างคอลลาเจนที่ละลายด้วยกรดโดยใช้ 6 N HCl ที่อุณหภูมิ 110 °C นาน 18 ชั่วโมง วิเคราะห์ปริมาณไฮดรอกซีโปรลีนด้วยเครื่อง high-performance liquid chromatography spectrofluorometer ที่ความยาวคลื่น 265 nm ตามวิธีของ Hutson และคณะ [9] และรายงานปริมาณไฮดรอกซีโปรลีนเป็นร้อยละโดยน้ำหนักคอลลาเจนแห้ง

2.5 วิเคราะห์ความคงตัวต่อความร้อนของคอลลาเจน

วิเคราะห์ค่า transition temperature (T_{max}) ด้วยเครื่อง differential scanning calorimeter (DSC) โดยดัดแปลงจากวิธีการของ [10] นำ ASC มาละลายในสารละลาย 0.05 M acetic acid ในอัตราส่วนตัวอย่างต่อสารละลาย 1 : 40 (w/v) ตั้งสารละลายทิ้งไว้เป็นเวลา 48 ชั่วโมง ที่ 4 °C วิเคราะห์โดยเครื่อง DSC วัดการถ่ายเทความร้อนของคอลลาเจน การวัดอุณหภูมิทำโดยใช้ indium thermogram ซึ่งน้ำหนักตัวอย่างที่แน่นอน 30-40 mg ใส่ลงใน aluminium pan แล้วปิดฝืน จากนั้นนำมา scan ในช่วงอุณหภูมิ 20-50 °C อัตราการให้ความร้อน 5 K/min ใช้งานเปล่าที่ปิดฝืนเป็นตัวอ้างอิง ประเมินค่า T_{max} จากจุด peak ของกราฟ DSC transition curve

2.6 วิเคราะห์สมบัติการดูดกลืนแสงยูวี

เตรียมตัวอย่างโดยดัดแปลงจากวิธีการของ Ahmad และ Benjakul (2010) [10] และ Zeng และคณะ (2009) [4] กล่าวคือ ชั่ง ASC 0.01 กรัม ละลายใน 0.5 M acetic acid 10 ml ใส่สารละลายลงใน quartz cell วิเคราะห์สมบัติการดูดกลืนแสงยูวีด้วยเครื่อง UV/visible spectrophotometer ที่ความยาวคลื่น 190-400 nm

2.7 ความสามารถในการละลายของคอลลาเจน (Solubility) [10]

2.7.1 ผลของ pH ต่อความสามารถในการละลายของคอลลาเจน

เตรียมสารละลาย ASC ที่ความเข้มข้นเท่ากับ 3 mg/ml ด้วย 0.5 M acetic acid ปรับ pH ด้วย 6 M NaOH หรือ 6 M HCl เพื่อให้ pH สุดท้ายอยู่ระหว่าง 1-10 และปรับปริมาตรของสารละลายตัวอย่างเป็น 10 ml ด้วยน้ำกลั่น แล้วหมนเหวี่ยงที่ 20,000 xg เป็นเวลา 30 นาที ที่ 4 °C วัดปริมาณโปรตีนในสารละลายส่วนใสด้านบนโดยวิธีของ Lowry และคณณะ โดยใช้ bovine serum albumin เป็นโปรตีนมาตรฐาน [12]

2.7.2 ผลของระดับความเข้มข้น NaCl ต่อการละลายของคอลลาเจน

เตรียมสารละลาย ASC ใน 0.5 M acetic acid ที่ pH 3 จนความเข้มข้นสุดท้ายเท่ากับ 6 mg/ml ผสม NaCl ใน 0.5 M acetic acid 5 ml ที่ความเข้มข้นต่าง ๆ (ร้อยละ 0, 2, 4, 6, 8, 10 และ 12 (w/v)) เพื่อให้ได้ความเข้มข้นสุดท้ายของ NaCl เป็นร้อยละ 1, 2, 3, 4, 5 และ 6 (w/v) แล้วหมนเหวี่ยงที่ 20,000 xg เป็นเวลา 30 นาที ที่ 4 °C วัดปริมาณของโปรตีนในสารละลายใสส่วนบนโดยวิธีของ Lowry และคณณะ โดยใช้ bovine serum albumin เป็นโปรตีนมาตรฐาน [12]

รายงานค่าความสามารถในการละลายของคอลลาเจน เป็นร้อยละความสามารถในการละลายสัมพันธ์ของคอลลาเจน (% relative collagen solubility) เมื่อกำหนดให้สถานะที่คอลลาเจนมีค่าการดูดกลืนแสงสูงสุดที่ความยาวคลื่น 750 nm มีค่าความสามารถในการละลายของคอลลาเจนเท่ากับร้อยละ 100

2.8 วิเคราะห์องค์ประกอบของกรดอะมิโน

นำ ASC ไป hydrolysed ใน 6 N HCl ที่ 110 °C นาน 24 ชั่วโมง วิเคราะห์องค์ประกอบของกรดอะมิโนโดยใช้เครื่อง Hitachi Amino Acid Analyzer รุ่น L-8500A ใช้ระบบ lithium buffer และคำนวณองค์ประกอบของกรดอะมิโนเป็นส่วนใน 1,000 ส่วนของปริมาณทั้งหมด [13]

2.9 วิเคราะห์โครงสร้างเกลียวสามสายของคอลลาเจน

ชั่ง ASC 0.2 mg ผสมกับ potassium bromide (KBr) 10 mg บรรจุในจานกลมภายใต้สภาวะแห้ง และทำการวิเคราะห์โครงสร้างเกลียวสามสายของคอลลาเจนด้วยเครื่อง Fourier Transform Infrared (FTIR) Spectrometer ที่ wave number 4000 ถึง 400 cm^{-1} โดยใช้อัตราการบันทึกข้อมูล 2 cm^{-1} ต่อจุด [11]

3. ผลการวิจัยและวิจารณ์

3.1 องค์ประกอบทางเคมีของหนังปลาสด

การศึกษาองค์ประกอบทางเคมีของหนังปลาสด พบว่ามีปริมาณความชื้น โปรตีน ไขมัน และเถ้าร้อยละ 62.42±1.40, 34.19±1.22, 0.81±0.24, 1.01±0.42 โดยน้ำหนักสด ตามลำดับ ดังแสดงในตารางที่ 1

ตารางที่ 1 องค์ประกอบทางเคมีของหนังปลาสด

องค์ประกอบทางเคมี	ร้อยละโดยน้ำหนักสด*
ความชื้น	62.42±1.40
โปรตีน	34.19±1.22
ไขมัน	0.81±0.24
เถ้า	1.01±0.42

*แสดงเป็น ค่าเฉลี่ย ± ค่าเบี่ยงเบนมาตรฐาน (n = 3)

องค์ประกอบทางเคมีของหนังปลาแต่ละชนิดมีความแตกต่างกัน เช่น หนังปลา bigeye snapper (*Priacanthus hamrur*) มีปริมาณความชื้น โปรตีน ไขมัน และเถ้าร้อยละ 52.8, 25.2, 1.02 และ 2.02 โดยน้ำหนักสด ตามลำดับ [14] หนังปลา Nile perch (*Lates niloticus*) มีปริมาณความชื้น โปรตีน ไขมัน และเถ้าร้อยละ 72.7, 20.3, 4.96 และ 3.7 โดยน้ำหนักสด ตามลำดับ [15]

3.2 การสกัดคอลลาเจนที่ละลายด้วยกรดจากหนังปลาสด

การสกัดคอลลาเจนด้วย 0.5 M acetic acid นาน 72 ชั่วโมง ที่ 4 °C ได้ปริมาณผลผลิตร้อยละ 38.25±2.30 โดยน้ำหนักแห้ง เมื่อเปรียบเทียบกับปริมาณผลผลิตที่สกัดได้จากหนังปลาชนิดอื่น พบว่าปริมาณผลผลิตที่ได้ใกล้เคียงกับหนังปลา Nile tilapia (*Oreochromis niloticus*) ซึ่งได้ปริมาณผลผลิตร้อยละ 39.4 [4] แต่น้อยกว่าหนังปลา Japanese sea-bass (*Lateolabrax japonicas*) (ร้อยละ 51.4) หนังปลา chub mackerel (*Scomber japonicas*) (ร้อยละ 49.8) และหนังปลา bullhead shark (*Heterodontus japonicas*) (ร้อยละ 50.1) [16] อาจเนื่องมาจากชนิด พันธุ์ พฤติกรรม ภูมิอากาศ และถิ่นอาศัยของปลาที่แตกต่างกัน

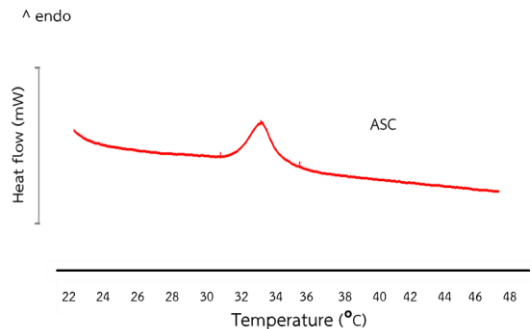
3.3 ปริมาณไฮดรอกซีโพรลีน

ผลการวิจัยพบว่าคอลลาเจนที่ละลายด้วยกรดจากหนังปลาสดประกอบด้วยไฮดรอกซีโพรลีนเท่ากับ ร้อยละ 63.37 โดยน้ำหนักคอลลาเจนแห้ง ค่าที่ได้นี้แสดงให้เห็นถึงความบริสุทธิ์ของคอลลาเจนที่สกัดได้ และไฮดรอกซีโพรลีนเป็นกรดอิมิโนที่พบเฉพาะในคอลลาเจน นอกจากนี้ ไฮดรอกซีโพรลีนมีบทบาทสำคัญต่อความความคงตัวของโครงสร้างเกลียวสามสาย เนื่องจากไฮดรอกซีโพรลีนมีตำแหน่งไฮดรอกซิลที่สามารถเกิดพันธะไฮโดรเจนได้ และวงแหวน

pyrrolidine ที่ป้องกันการหมุนของพันธะหรือโครงสร้างของคอลลาเจน [17]

3.4 ความคงตัวของความร้อนของคอลลาเจน

อุณหภูมิในการเสีสภาพของคอลลาเจนซึ่งรายงานเป็นค่า T_{max} พบว่าคอลลาเจนที่ละลายด้วยกรดจากหนังปลาสดมีค่า T_{max} เท่ากับ 33.15±0.03 °C (รูปที่ 1)



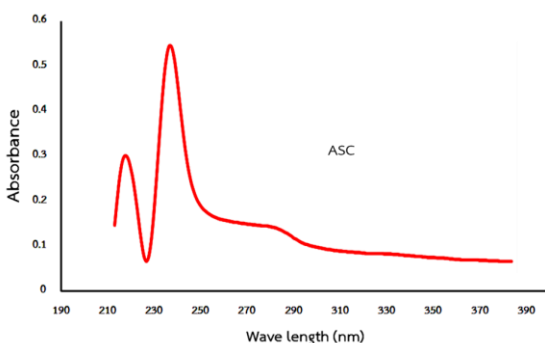
รูปที่ 1 DSC thermogram ของคอลลาเจนที่ละลายด้วยกรดจากหนังปลาสด

โดยค่า T_{max} ของคอลลาเจนที่ละลายด้วยกรดจากหนังปลาสดมีค่าใกล้เคียงกับหนังปลา Nile tilapia (T_{max} เท่ากับ 32 °C) แต่มีค่าน้อยกว่าหนังลูกวัว (T_{max} เท่ากับ 44 °C) [4] อาจเนื่องมาจากองค์ประกอบของกรดอะมิโน ลำดับกรดอะมิโน และการจัดเรียงโครงสร้างเกลียวสามสายของคอลลาเจนของปลาแตกต่างจากสัตว์เลี้ยงลูกด้วยนม จากงานวิจัยก่อนหน้านี้ พบว่าโพรลีนและไฮดรอกซีโพรลีนมีผลโดยตรงต่อความคงตัวของคอลลาเจนต่อความร้อน Giraud-Guille และคณะ [18] ได้สกัดคอลลาเจนจากหนังลูกวัวและหนังปลา flat fish (*Soleidae*) พบว่าค่าอุณหภูมิในการเสีสภาพของหนังลูกวัว (44.6 °C) สูงกว่าหนังปลา flat fish (37.5 °C) ซึ่งสัมพันธ์โดยตรงกับปริมาณของโพรลีนและไฮดรอกซีโพรลีน โดยหนังลูกวัวมีปริมาณโพรลีนและไฮดรอกซีโพรลีน เท่ากับ

121 และ 94 ส่วนใน 1,000 ส่วน ตามลำดับ สูงกว่าหนังปลา flat fish มีปริมาณโปรตีนและไฮดรอกซี-โปรตีนเท่ากับ 104 และ 59 ส่วนใน 1,000 ส่วน ตามลำดับ [18] จากผลการศึกษาข้างต้นแสดงให้เห็นว่าคอลลาเจนที่ละลายด้วยกรดจากหนังสัตว์ที่มีโปรตีนและไฮดรอกซีโปรตีนในปริมาณมาก พบว่ามีอุณหภูมิในการเสียดสภาพสูงขึ้นหรือความคงตัวต่อความร้อนเพิ่มขึ้น

3.5 สมบัติการดูดกลืนแสงยูวี

คอลลาเจนที่ละลายด้วยกรดจากหนังปลา สลาดถูกสแกนในช่วงความยาวคลื่น 190-400 nm โดยคอลลาเจนสามารถดูดกลืนแสงยูวีสูงสุดที่ความยาวคลื่น 233 nm ดังแสดงในรูปที่ 2 เนื่องจากคอลลาเจนมีปริมาณของกรดอะมิโนชนิด ฟีนิลอะลานีน ทริปโตเฟน และไทโรซีนในปริมาณที่น้อยมาก ซึ่งสอดคล้องกับผลการวิจัยของ Zeng และคณะ [4] จากสมบัติการดูดกลืนยูวีนี้สามารถใช้แยกคอลลาเจนออกจากโปรตีนชนิดอื่นได้ โดยโปรตีนชนิดอื่นส่วนใหญ่ดูดกลืนแสงยูวีสูงสุดที่ความยาวคลื่น 280 nm

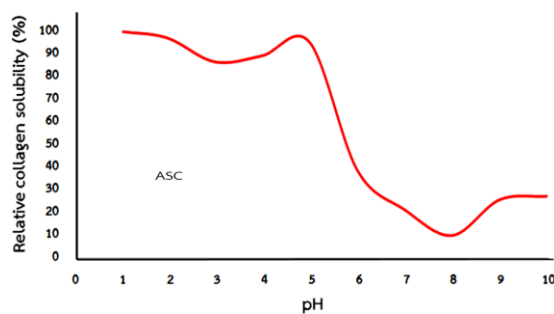


รูปที่ 2 UV spectrum ของคอลลาเจนที่ละลายด้วยกรดจากหนังปลาสด

3.6 ความสามารถในการละลายของคอลลาเจน

3.6.1 ผลของ pH ต่อความสามารถในการละลายของคอลลาเจน

ความสามารถในการละลายของคอลลาเจนที่ละลายด้วยกรดจากหนังปลาสดที่สถานะ pH ต่างกัน แสดงในรูปที่ 3 คอลลาเจนที่ละลายด้วยกรดจากหนังปลาสดสามารถละลายได้มากในช่วง pH 1-5 มีค่าการละลายสูงสุดที่ pH 1 และค่าการละลายลดลงอย่างชัดเจนในช่วง pH 6-8 ที่ pH สูงกว่า 8 คอลลาเจนมีค่าการละลายเพิ่มขึ้นเล็กน้อย ซึ่งสอดคล้องกับการวิจัยของ Foegeding และคณะ [19] พบว่าคอลลาเจนที่ละลายด้วยกรดจากหนังปลา Nile tilapia มีค่าการละลายน้อยที่สุดในช่วง pH 6-9



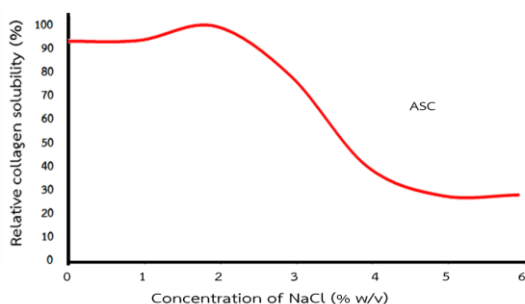
รูปที่ 3 ความสามารถในการละลายของคอลลาเจนที่ละลายด้วยกรดจากหนังปลาสดที่ pH ต่างกัน

จากการศึกษาของ Vojdani [20] พบว่าเมื่อ pH น้อยกว่าและมากกว่าค่า pI (isoelectric point) ส่งผลให้โปรตีนมีผลรวมของประจุสุทธิเป็นบวกและลบ ตามลำดับ จึงเกิดแรงผลักกันระหว่างประจุ (electrostatic repulsion) ของโปรตีน ทำให้เกิดการละลายและคงตัวในสารละลายนั้นได้ ในทางกลับกันถ้า pH เข้าใกล้หรือเท่ากับ pI ส่งผลให้โปรตีนมีผลรวมของประจุสุทธิเป็นศูนย์ จึงไม่เกิดแรงผลักกันระหว่างประจุของโปรตีน ทำให้เกิดการรวมกลุ่มกันด้วยแรง hydrophobic-hydrophobic interaction และตกตะกอนในที่สุด [18] ดังนั้น pI

ของคอลลาเจนจากหนังปลาสดอยู่ในช่วง 6-8 ซึ่งสอดคล้องกับ pI ของคอลลาเจนจากหนังปลา Nile tilapia ที่อยู่ในช่วง pH 6-9 [19]

3.6.2 ผลของระดับความเข้มข้นของ NaCl ต่อความสามารถในการละลายของคอลลาเจน

ความสามารถในการละลายของคอลลาเจนที่ละลายด้วยกรดจากหนังปลาสดที่ pH 3 ในสภาวะความเข้มข้นของ NaCl แตกต่างกัน แสดงในรูปที่ 4 คอลลาเจนที่ละลายด้วยกรดจากหนังปลาสดมีค่าการละลายสูงสุดที่ความเข้มข้นของ NaCl ร้อยละ 1 (w/v) และค่าการละลายลดลงอย่างชัดเจนเมื่อความเข้มข้นของ NaCl มีค่าสูงกว่าร้อยละ 2 ซึ่งสอดคล้องกับการวิจัยของ Zeng และคณะ [4] พบว่าคอลลาเจนที่ละลายด้วยกรดจากหนังปลา Nile tilapia มีค่าการละลายลดลงอย่างชัดเจนเมื่อความเข้มข้นของ NaCl มีค่าสูงกว่าร้อยละ 2



รูปที่ 4 ความสามารถในการละลายของคอลลาเจนที่ละลายด้วยกรดจากหนังปลาสดที่ความเข้มข้นของ NaCl แตกต่างกัน

ผลการวิจัยนี้แสดงให้เห็นว่าในช่วงที่ความเข้มข้นของ NaCl น้อยกว่าร้อยละ 2 (w/v) ที่ pH 3 คอลลาเจนสามารถละลายได้ดี เนื่องจากในช่วงนี้เกลือทำหน้าที่เหนี่ยวนำให้น้ำมาล้อมรอบโมเลกุลคอลลาเจนมากขึ้น ส่งผลให้คอลลาเจนจับกับโมเลกุลของน้ำได้ดีขึ้น ในขณะที่ความเข้มข้นของ

NaCl สูงกว่าร้อยละ 2 (w/v) ที่ pH 3 คอลลาเจนมีความสามารถในการละลายลดลง และอาจตกตะกอนเป็นผลมาจาก ionic strength มีค่าสูงขึ้น จึงเกิดการแย่งจับน้ำระหว่างไอออนของเกลือและโมเลกุลคอลลาเจน ร่วมกับเกิด hydrophobic interaction ระหว่างโมเลกุลคอลลาเจนอีกด้วย [21]

3.7 องค์ประกอบของกรดอะมิโน

คอลลาเจนที่ละลายด้วยกรดจากหนังปลาสดประกอบด้วยกรดอะมิโน แสดงเป็นส่วนใน 1,000 ส่วนของปริมาณกรดอะมิโนทั้งหมด ในตารางที่ 2 จากผลการวิจัยพบว่าองค์ประกอบของกรดอะมิโนที่ได้ มีใกล้เคียงกับปริมาณมากถึงร้อยละ 33.7 (337 ส่วนในกรดอะมิโน 1,000 ส่วน) โดยปกติพบไกลซีนในทุก ๆ สามหน่วยย่อยของลำดับอะมิโน (Gly-X-Y) ในโมเลกุลคอลลาเจน [1] กรดอะมิโนที่มักพบในคอลลาเจน คือ โพรลีนและไฮดรอกซีโพรลีน โดยมีปริมาณรวมกันที่ร้อยละ 18.8 (188 ส่วนใน 1,000 ส่วน) เมื่อเปรียบเทียบองค์ประกอบของกรดอะมิโนกับหนังปลาชนิดอื่น พบว่ามีโพรลีนและไฮดรอกซีโพรลีนใกล้เคียงกับหนังปลา carp (*Cyprinus carpio*) (190 ส่วนใน 1,000 ส่วน) [5] แต่มากกว่าหนังปลา ocellate puffer (*Takifu gurubripes*) (170 ส่วนใน 1,000 ส่วน) [22] โดยปริมาณของโพรลีนและไฮดรอกซีโพรลีนสัมพันธ์กับชนิด พฤติกรรม และถิ่นอาศัยของปลา [19] นอกจากนี้ปริมาณของโพรลีนและไฮดรอกซีโพรลีนยังสัมพันธ์โดยตรงกับความคงตัวของคอลลาเจนอีกด้วยที่ได้กล่าวไปในข้อ 3.4

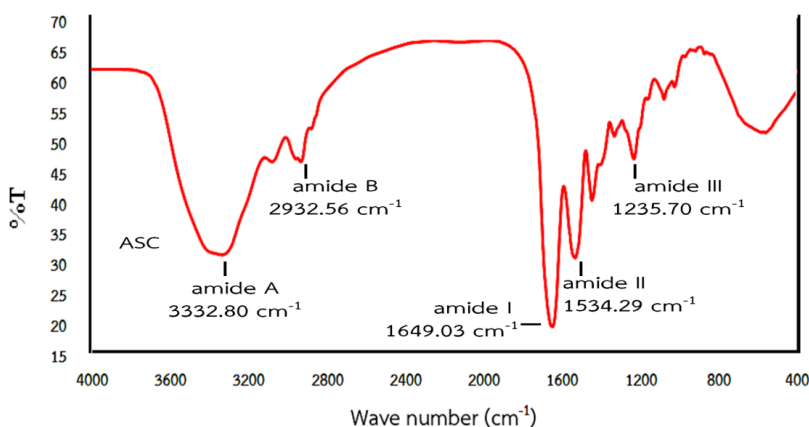
3.8 โครงสร้างเกลียวสามสายของคอลลาเจน

จาก FTIR spectrum (รูปที่ 5) แสดงแถบการดูดซับใน spectrum ของตัวอย่างคอลลาเจนที่ละลายด้วยกรดจากหนังปลาสด พบลักษณะของแถบการดูดซับหลัก คือ amide I ปรากฏที่ wave number เท่ากับ 1649.03 cm^{-1} มาจากการสั่น

สะท้อนจากการยึดตัวของ C=O รวมกับการหดตัวของ N-H ซึ่งเกี่ยวข้องกับโครงสร้างทุติยภูมิของคอลลาเจน ในส่วนของ amide II ปรากฏที่ wave number เท่ากับ 1534.29 cm^{-1} แสดงให้เห็นว่าโมเลกุลคอลลาเจนยังมีพันธะไฮโดรเจนอยู่ ส่วน amide III ปรากฏที่ wave number เท่ากับ 1235.70 cm^{-1} มาจากการรวมยอดระหว่างการสั่นสะท้อนของการเปลี่ยนโครงสร้างของ N-H และการยึดตัวของ C-N เกี่ยวข้องกับโครงสร้างเกลียวสามสายของคอลลาเจน นอกจากนี้โครงสร้างเกลียวสามสายสามารถยืนยันได้จากแถบการดูดซับที่ wave number เท่ากับ 1450 cm^{-1} [23] โดย wave number ของแถบการดูดซับ amide I, amide II และ amide III สอดคล้องกับงานวิจัยของ Muyonga และคณะ [15] ที่พบว่าคอลลาเจนที่ละลายด้วยกรดจากหนังปลา Nile perch

แสดงแถบการดูดซับหลักใน spectrum ดังนี้ amide I ($1,600-1,700 \text{ cm}^{-1}$), amide II ($1,500-1,600 \text{ cm}^{-1}$) และ amide III ($1,200-1,300 \text{ cm}^{-1}$) [15]

นอกจากนี้ แถบการดูดซับ amide A และ amide B ปรากฏที่ wave number เท่ากับ 3332.80 และ 2932.56 cm^{-1} ตามลำดับ amide A เกี่ยวข้องกับการเกิดพันธะไฮโดรเจนที่ตำแหน่ง N-H หากว่าตำแหน่งนี้ไม่เกิดพันธะไฮโดรเจน (free N-H) จะปรากฏแถบการดูดซับในช่วง $3,400-3,440 \text{ cm}^{-1}$ แต่ถ้าตำแหน่ง N-H เกิดพันธะไฮโดรเจนจะปรากฏแถบการดูดซับที่ wave number ต่ำลง ที่ค่าประมาณ $3,300 \text{ cm}^{-1}$ และ amide B แสดงถึงการไม่สมมาตรของ CH_2 [15] จากการศึกษา FTIR ในครั้งนี้พบว่าคอลลาเจนที่ละลายด้วยกรดจากหนังปลาสดยังคงมีโมเลกุลที่จัดเรียงโครงสร้างแบบเกลียวสามสาย



รูปที่ 5 Fourier transform infrared spectrum ของคอลลาเจนที่ละลายด้วยกรดจากหนังปลาสด

4. สรุป

การสกัดคอลลาเจนจากหนังปลาสด (*Notopterus notopterus*) ด้วย 0.5 M acetic acid นาน 72 ชั่วโมง พบว่าได้ปริมาณผลผลิตร้อยละ 38.25 ± 2.30 โดยน้ำหนักแห้ง มีค่า T_{max} เท่ากับ $33.15 \pm 0.03 \text{ }^{\circ}\text{C}$ ดูดกลืนแสงยูวีสูงสุดที่ 233 nm มีค่าการ

ละลายสูงสุดที่ pH 1 มีค่าการละลายลดลงในช่วง pH 6-8 และความเข้มข้นของ NaCl สูงกว่าร้อยละ 2 (w/v) ที่ pH 3 และคอลลาเจนยังมีโครงสร้างเกลียวสามสายที่ประกอบด้วยกรดอะมิโนไกลซีน โพรลีน และไฮดรอกซีโพรลีนร้อยละ 33.7, 11.3 และ 7.5 ตามลำดับ จากผลการทดลองแสดงว่าหนังปลาสด

สามารถนำมาใช้เป็น แหล่งทางเลือกใหม่ในการสกัดคอลลาเจนที่ละลายด้วยกรดได้ มีองค์ประกอบของกรดอะมิโน สมบัติการดูดกลืนแสงยูวี และการละลายใกล้เคียงกับคอลลาเจนที่สกัดได้จากหนังปลาชนิดอื่น

ตารางที่ 2 องค์ประกอบของกรดอะมิโนของคอลลาเจนที่ละลายด้วยกรดจากหนังปลาสด (n=3)

กรดอะมิโน	ปริมาณกรดอะมิโน (ส่วนใน 1,000 ส่วน)
Asp	46±0
Thr	26±0
Ser	37±0
Glu	85±0
Gly	337±1
Ala	116±0
Val	18±0
Cys	0±0
Met	12±0
Ile	10±0
Leu	22±0
Tyr	4±0
Phe	15±0
Lys	27±0
Hylys	0±0
His	5±0
Arg	52±0
Hypro	75±1
Pro	113±0
Imino acid	188±1
Total	1,000

5. กิตติกรรมประกาศ

ขอขอบคุณ กองทุนวิจัย มหาวิทยาลัยธรรมศาสตร์ ที่จัดสรรทุนสนับสนุนงานวิจัย ประเภท

ทุนวิจัยทั่วไปสำหรับนักศึกษาระดับบัณฑิตศึกษา ประจำปีงบประมาณ 2556 เพื่อสนับสนุนค่าใช้จ่ายในการวิจัยครั้งนี้ และขอขอบคุณ Professor Dr. Katsuji Morioka, Laboratory of Aquatic Product Utilization, Faculty of Agriculture, Kochi University, Kochi, Japan ที่ให้ความอนุเคราะห์ในการวิเคราะห์องค์ประกอบของกรดอะมิโน

6. รายการอ้างอิง

- [1] Brodsky, B. and Persikov, A., 2005, Advance in Protein Chemistry volume 70, Elsevier Academic Press., California.
- [2] Helcke, T., 2000, Gelatin, the food technologist's friend or foe, Int. Food Ingred. 1: 6-8.
- [3] Kittiphattanabawon, P., Benjakul, S., Visessanguan, W., Nagai, T. and Tanaka, M., 2005, Characterisation of acid-soluble collagen from skin and bone of bigeye snapper (*Priacanthus tayenus*), Food Chem. 89: 363-372.
- [4] Zeng, S.K., Zhang, C.H., Lin, H., Yang, P., Hong, P.Z. and Jiang, Z., 2009, Isolation and characterisation of acid-solubilised collagen from the skin of Nile tilapia (*Oreochromis niloticus*), Food Chem. 116: 879-883.
- [5] Duan, R., Zhang, J., Du, X., Yao, X. and Konno, K., 2009, Properties of collagen from skin, scale and bone of carp (*Cyprinus carpio*), Food Chem. 112: 702-706.
- [6] สืบสิน สนธิรัตน์, สุภาพ มงคลประสิทธิ์ และประจิดร วงศ์รัตน์, 2514, การศึกษาชนิดของปลา

- สลาดและปลาทรายในไทย, การประชุมวิชาการ
เกษตรและชีววิทยาครั้งที่ 1, มหาวิทยาลัยเกษตร
ศาสตร์, กรุงเทพฯ.
- [7] สมศักดิ์ เจนศิริศักดิ์, 2516, การศึกษาชีวประวัติ
บางประการของปลาสลาด, รายงานประจำปี
2516, หน่วยงานพัฒนาประมงในอ่างเก็บน้ำ
เขื่อนอุบลรัตน์, กรมประมง, ขอนแก่น.
- [8] AOAC, 1995, Official method of analysis,
16th Ed., Association of Official Chemists,
Washington D.C.
- [9] Hutson, P.R., Crawford, M.E. and
Sorkness, R.L., 2003, Liquid chromatographic
determination of hydroxyproline
in tissue samples, J. Chromatogr. B 791:
427-430.
- [10] Ahmad, M. and Benjakul, S., 2010,
Extraction and characterisation of pepsin-
solubilised collagen from the skin of
unicorn leatherjacket (*Aluterus
monoceros*), Food Chem. 120: 817-824.
- [11] Yan, M., Li, B., Zhao, X., Ren, G., Zhuang,
Y., Hou, H., Zhang, X., Chen, L. and Fan,
Y., 2008, Characterization of acid-soluble
collagen from the skin of walleye
pollock (*Theragra chalcogramma*), Food
Chem. 107: 1581-1586.
- [12] Lowry, O.H., Rosebrough, N.J., Farr, A.L.
and Randall, R.J., 1951, Protein measure-
ment with Folin phenol reagent, J. Biol.
Chem. 193: 256-275.
- [13] Sompongse, W., Morioka, K. and Itoh, Y.,
2003, Comparison of amino acid
composition among various surimis and
washed meats, Res. Rep. Kochi Univ. 52:
33-38.
- [14] Binsi, P.K., Shamasundar, B.A., Dileep,
A.O., Badii, F. and Howell, N.K., 2009,
Rheological and functional properties of
gelatin from the skin of bigeye snapper
(*Priacanthus hamrur*) fish: Influence of
gelatin on the gel-forming ability of fish
mince, Food Hydrocol. 23: 132-145.
- [15] Muyonga, J.H., Cole, C.G.B. and Duodu
K.G., 2004, Extraction and physic-
chemical characterisation of Nile perch
(*Lates niloticus*) skin and bone gelatin,
Food Hydrocol. 18: 581-592.
- [16] Nagai, T. and Suzuki, N., 2000, Isolation of
collagen from fish waste material-skin,
bone and fins, Food Chem. 68: 277-281.
- [17] ฉลองขวัญ พิพัฒน์เจริญวงศ์, 2551, คอลลาเจน
จากเกล็ดปลา : การสกัดและคุณสมบัติบาง
ประการ, วิทยานิพนธ์ปริญญาโท, มหาวิทยาลัย
เกษตรศาสตร์, กรุงเทพฯ.
- [18] Giraud-Guille, M.M., Besseau, L., Chopin,
C., Durand, P. and Herbage, D., 2000,
Structural aspects of fish skin collagen
which forms ordered arrays via liquid
crystalline states, Biomaterials 21:
899-906.
- [19] Foegeding, E., Lanier, T.C. and Hultin,
H.O., 1996, Characteristics of edible
muscle tissue, pp. 879-942, In Fennema,
O.R. (Ed.), Food Chemistry (3rd Ed.),
Marcel Dekker, New York.
- [20] Vojdani, F., 1996, Solubility, pp. 11-60, In

- Hall, G.M. (Ed.), Methods of testing protein functionality, St. Edmundsbury Press, Great Britain.
- [21] Boye, J.I., Ma, C.Y. and Harwalkar V.R., 1997, Thermal denaturation and coagulation of protein, pp. 25-56, In Damodaran, S. and Paraf, A. (Eds.), Food Protein and Their Applications, Marcel Dekker, New York.
- [22] Nagai, T., Araki, Y. and Suzuki, N., 2002, Collagen of the skin of ocellate puffer Fish (*Takifu gurubripes*), Food Chem. 78: 173-177.
- [23] Liu, H.Y., Li, D. and Guo, S.D., 2007, Studies on collagen from the skin of channel catfish (*Ictalurus punctatus*), Food Chem. 101: 621-625.